

2-3木の高速並列マージ・アルゴリズム

柴山 悅哉 (京都大学・数理解析研究所)

0. はじめに

本論では、2-3木(2-3 tree)を表現された長さ m と n ($m \leq n$) の順序列(sorted list)を高々 $2m$ 個のプロセッサを用いて、 $O(\log n)$ 時間でマージするアルゴリズムを与える。この時間計算量を評価する際には、大小比較、プロセッサの割り当て、出力の2-3木の構築に要するすべてこの手間を考慮にいれた。また、このアルゴリズムの実行中に、複数のプロセッサが同一箇所に同時にリード・アクセスすることはない。

ここではまず、2-3木の動的な挙動を自然に表現する並列計算モデルを導入する。このモデルは通信ラインを介して2-3木状に結合されたプロセッサよりなる。さらに、このモデルの通信ラインは動的に付け替えることが許される。この機能により、動的なデータ及び動的な制御が自然に表現できる。本報告では並列マージ・アルゴリズムは、この計算モデル上で設計されるとする。

このアルゴリズムは競合するものとしては、アレイで表現された順序列をマージするものがある。^[1] ところが出力としてアレイを用いる限り、マージアルゴリズムの時間計算量は $O\left(\frac{n+m}{P}\right)$ 以下にはならない。ここで P は利用可能なプロセッサ数、 n と m は二つの順序列の長さを表す。一方、我々のアルゴリズムは高々 $2m$ 個のプロセッサにより時間計算量 $O(\log n)$ を達成している。したがって、それが十分大きい時、アレイを出力するものより有利となる。

1. 2-3木

定義 1.1

2-3木とは次の条件を満たす木構造

である^[1]:

- (1) 葉(leaf)以外の各節(node)が2つまたは3つの子供を持つ
 - (2) 根(root)から葉へ至る道(path)の長さがすべて等しい。 ■
- 定義 1.2

各個の葉を持つ2-3木Tを用いて、順序列 $S = \{A_1, A_2, \dots, A_K\}$ ($A_1 < A_2 < \dots < A_K$) を表現するには、次のように行すればよい。

- (1) Tの葉に左から順番に A_1, A_2, \dots, A_K を代入する。
- (2) Tの葉以外の節 N が3つの子供を持つ時、 N には以下に定める4つの値 $\min(N)$, $1stmax(N)$, $2ndmax(N)$ 及び $\max(N)$ が代入される。また N が2つの子供を持つ時、 N には $\min(N)$, $1stmax(N)$, 及び $\max(N)$ が代入される。

$\min(N) = "N$ を根とする2-3木の葉に代入された最小の値"

$\max(N) = "N$ を根とする2-3木の葉に代入された最大の値"

$1stmax(N) = "N$ の1番目の子供を根とする2-3木の葉に代入された最大の値"

$2ndmax(N) = "N$ の2番目の子供を根とする2-3木の葉に代入された最大の値" ■

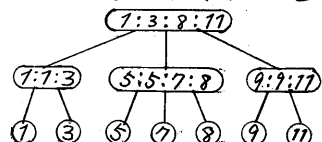


図 1.7 {1,3,5,7,8,9,11} を表現する2-3木

逐次的(sequential)なアルゴリズムを実行する際には、2-3木の葉以外の節 N に、 $1stmax(N)$ 及び $2ndmax(N)$ を代入すれば十分である^[1] しかし、3章で述べる並列マージ・アルゴリズムを実行するためには、 $\min(N)$ 及び $\max(N)$ に相当する情報を必要になる。

順序列を2-3木で表現すると、探索

挿入、削除等の操作を高速に行なえる。^[1]
定義 1.3

(1) 2-3木の節Nの高さ (height) とは
 Nから葉へ至る道の長さのことである。
 ただし、葉の高さは0とする。

(2) 2-3木Tの高さとは、Tの根の高
 さのことである。Tの高さを|T|と記す。

(3) 2-3木の節Nの深さ (depth) とは
 根からNへ至る道の長さのことである。
 ただし、根の深さは0とする。 \blacksquare

例えば図 7.7 の 2-3木の高さは 2 である。

2. 並列計算モデル

この章では 2-3木状に結合されたプロセッサで構成される並列計算モデルを定義する。

定義 2.1

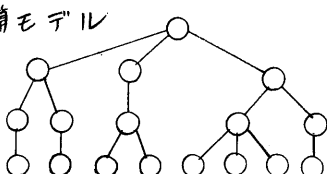
2-3計算モデルを構成するプロセッサは、次の条件を満たす木の形に通信ラインを介して結合される。

(1) 根のプロセッサは 2つまたは 3つの子供を持つ。

(2) 根でも葉でもないプロセッサは 1つから 3つの子供を持つ。ただし、あるプロセッサが 1つまたは 3つの子供を持つ時、このプロセッサの親は 2つまたは 3つの子供を持つなければいけない。

(3) 葉の深さはすべて等しい。 \blacksquare

図 2.1 2-3計算モデル



2-3計算モデルを構成するプロセッサ間の結合関係を動的に切り替えるために、次のような操作を定める。

操作 1

葉と子供とすみプロセッサがその一部の子供との間の通信ラインを切断する。尚、親とのリンクを切らかれてプロ

セッサは、以降活動を停止する。 \blacksquare

図 2.2 操作 1 の例

操作 2

(1) 根のプロセッサ PE(r) の孫の個数が 3 以下の時、PE(r) は孫を直接の子供とし、

今まで子供であったプロセッサを切り離す。 \blacksquare

図 2.3

操作 2 (1) の例

(2) 根のプロセッサ PE(r) の子供の中に 1 つまたは 2 つ子供を持たないものが存在し、しかも、PE(r) の孫の個数が 4 以上の時、次のような変形を行なう。まず、PE(r) は孫の一部をおじにあたるプロセッサの養子とし、PE(x) の各子供が 0, 2, または 3 個の子供を持つようにする。次に、PE(r) は子供を持たなくなつてプロセッサを切り離す。

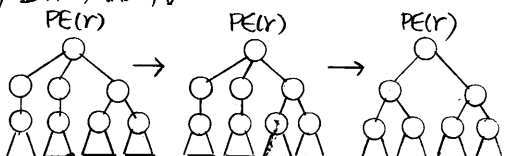


図 2.4 操作 2 (2) の例

(3) 根以外のプロセッサ PE(x) が 2つまたは 3つの子供を持ち、その中に、1 つまたは 2 つ子供を持たないものが存在する時、次のような変形を行なう。まず、PE(x) は孫の一部をおじにあたるプロセッサの養子とし、PE(x) の各子供が 0, 2, または 3 個の子供を持つようにする。次に、PE(x) は子供を持たなくなつてプロセッサを切り離す。 \blacksquare

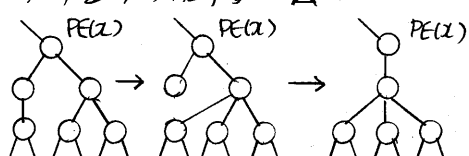


図 2.5 操作 2 (3) の例

以下、操作 π のことを平衡化操作と呼ぶ。あるプロセッサ $PE(I)$ が平衡化操作を行ふ時、 $PE(I)$ は自分自身と子供を結ぶ通信ライン及び、自分の子供と孫を結ぶ通信ラインだけ替える。したがつて、親子の関係にある2つのプロセッサが同時に平衡化操作を行なうことはできない。祖父と孫の関係にある2つのプロセッサに関しては、並列に平衡化操作を行なうことも矛盾を生じることはない。図2.5において、 $PE(X)$ の親が1つしか子供を持たない場合、この変形は2-3計算モデルの条件に抵触する。この条件を保つためには、 $PE(X)$ の祖父が並列に平衡化操作を行なう必要がある。

定義2.2

2-3動的計算モデル では、定義2.1の条件を満たし、葉以外の各プロセッサが操作1 及び平衡化操作を並列に行なえるようなものである。ただし、親子関係にある2つのプロセッサは、これらの操作を同時にほん行なえない。図2.3

次の条件(1)を満たす2-3動的計算モデルの高さ偶数のプロセッサが並列に平衡化操作を行なうと(2)の条件を満たすようになる。逆に、(2)の条件を満たす2-3動的計算モデルの高さ奇数のプロセッサが並列に平衡化操作を行なうと(1)の条件を満たすようになる。

(1) 高さ偶数の葉以外のプロセッサが、2つまたは3つの子供を持ち、高さ奇数のプロセッサが1つなら3つの子供を持つ。

(2) 高さ偶数の葉以外のプロセッサが、1つなら3つの子供を持つ、高さ奇数のプロセッサが2つまたは3つの子供を持つ。

[証明] 省略 図

次に例題として、複数の2-3木の連接(concatenation)を2-3動的計算モデル上で求めめる方法を示す。まず、若

の定義を行ふ。

定義2.4

- (1) T と T' をそれぞれ N と N' を根とする2-3木とする。 $\max(N) < \min(N')$ が成り立つ時、 $T \triangleleft T'$ と書く。
- (2) T と T' ($T \triangleleft T'$) をそれぞれ $\{t_1, t_2\}$, $t_3, \dots, t_{l_1}, t_{l_2}, \dots, t_{l_3}$ を表現する2-3木とする。この時、 T と T' の連接とは、 $\{t_1, t_2\}, t_3, \dots, t_{l_1}, t_{l_2}, \dots, t_{l_3}$ を表現する2-3木である。図

2つの2-3木 T と T' ($T \triangleleft T'$) の連接は次の操作をくり返し行なうことによって求めることができる。簡単のため、各節の情報の更新に関する手続きは省略する。

操作3

- (1) $|T| = |T'|$ の場合

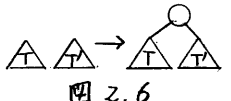
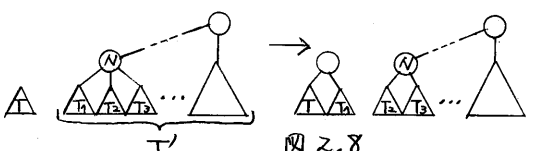
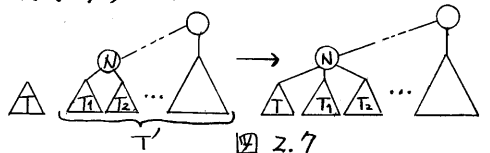


図2.6のように新しい頂点を作り、 T と T' をこの節の子供とする。

- (2) $|T| < |T'|$ の場合

T' の高さ $|T'| + 1$ の節の中で、最も左側のものをルート名づける。 N が2つの子供を持つば、図2.7の変形を行なう。 N が3つの子供を持つば、図2.8の変形を行なう。



- (3) $|T| > |T'|$ の場合

(2)と左右逆の操作を行なう。図2.8の場合、操作3をくり返し適用することにより、 T と T' の連接を求めることができる。

[アルゴリズム] 2-3動的計算モデル上で、複数の2-3木の連接を求める。

図2.9において、各節は2-3木であらわし、実線は通信ラインをあらわす

ものとする。また、三角形は2-3木をあらわし、破線で結ばれてプロセッサの管理化にあたるものとする。さらに、各2-3木は、すべてのプロセッサに共有されたメモリ上に存在し、 $T_1 \leq T_2 \leq \dots \leq T_8$ を満たすものとする。

STEP1: 高さ1のプロセッサが、2-3木を孫とみなして、平衡化操作を行なう。(図2.10)

STEP2: 高さ2のプロセッサが平衡化操作を行なう。これと並列に、高さ0のプロセッサが操作3を行なう。(図2.11) □

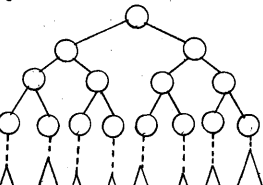


図2.9

操作を行なう。これと並列に、高さ0のプロセッサが操作3を行なう。(図2.11) □

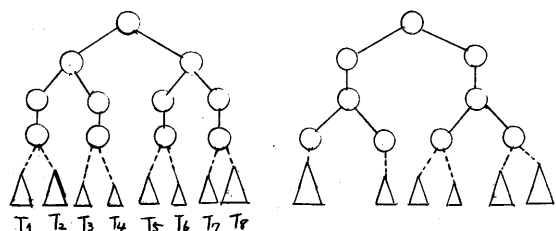


図2.10

図2.11

STEP2の終了後、高さが奇数のプロセッサによる平衡化操作と、高さが偶数のプロセッサによる平衡化操作及び操作3が交互に行なわれる。そして、葉のプロセッサの持つ2-3木が、唯一フレキ存置しなくなる時、この手続とは終了する。一般に、複数の2-3木を連接するプログラムは、次のようになる。ただし、このプログラムの実行前に、葉以外の各プロセッサはスツまでは3つの子供を持ち、葉のプロセッサは、それぞれ1つの2-3木を持つものとする。

[連接を求めるプログラム]

while 葉の持つ2-3木の数が2以上 do
step1 高さ奇数のプロセッサが平衡化操作を行う。

step2 葉のプロセッサが操作3を行なう。葉以外の高さが偶数のプロセッサが平衡化操作を行なう。

end while □

定理2.5

合計n個の葉を持つm個の2-3木の連接は、高さm個のプロセッサを用いて、 $O(\log n)$ 時間で求められる。

[証明の概略] 補題2.3より、連接を求めるプログラムのSTEP2を実行する前に、葉のプロセッサがスツまでは、3つの2-3木を持つ。よって、これら3つの2-3木に対して、操作3を適用することはできる。ところが、葉のプロセッサの管理する2-3木の中でも、最も低いものの高さは、STEP2を一回実行すると、少なくとも1増加する。(ある葉のプロセッサが3つの2-3木を管理する時は、操作3を2回適用すればよい。)よって、STEP2は高さ $\log n$ 回実行されない。□

このアルゴリズムの実行に際して、葉のプロセッサのみが、直接的に連接を求める作業を行なつ。他のプロセッサは、子供に仕事の割り当てを行なつ。

3. 並列マージ・アルゴリズム

この章では、スツの順序列 $A = \{a_1, a_2, \dots, a_m\}$ ($a_1 < a_2 < \dots < a_m$) と $B = \{b_1, b_2, \dots, b_n\}$ ($b_1 < b_2 < \dots < b_n$) を並列にマージするアルゴリズムを設計し解析する。簡単のために、 A と B は同じ要素を含ます、 $m \leq n$ 及び $b_n < a_m$ が成り立つものとします。また、 A と B を並べて A と B を表現する2-3木をあらわす。ここでは、処理のパイプライン化を図るために、2-3木の列を順序列を表現することを考える。

定義3.1

(1) 2-3木の列 $\{T_1, T_2, \dots, T_k\}$ が $T_1 \leq T_2 \leq \dots \leq T_k$ を満たす時、この列は T_1, \dots, T_k の連接と同一順序集合を表現しているものと考える。

(2) 互いに $[u, v]$ の順序列 $\{b_j \in B \mid u \leq b_j \leq v\}$ を表現する、ある2-3木の列をあらわす。□

一般に、 $B[u, v]$ は一意的には定まらない。後程、 $B[u, v]$ の求め方を示すが、

それまでは、 $B[u,v]$ は $\{bj \in B \mid b_j < v\}$ を表現する性質の 2-3 木のことを意味するものとします。

この章で導入するアルゴリズムは、まず "B" を分割して、M 個の 2-3 木の列 $B[-a_1, a_1], B[a_1, a_2], \dots, B[a_m, a_m]$ を作る。ただし、 a_i は A の B 属するビンが要素よりも小さい値とする。次に、これらと A から $\{bj \mid b_j < a_i\} \cup \{a_i\}, \{bj \mid a_i < b_j < a_{i+1}\} \cup \{a_{i+1}\}, \dots, \{bj \mid a_m < b_j < a_1\} \cup \{a_1\}$ を表現する M 個の 2-3 木を作る。そして、2 章で述べたアルゴリズムにより、これらの連接を求めれば、マージ操作は完了する。

このアルゴリズムの実行前段階、プログラムは A と同じ形に並べられておりと仮定する。まず、 A が図 3.1 のようなら 2-3 木である場合を考えてみよう。簡単のために、 A の各節はプログラムとあらわし、節と節を結ぶ邊は、通信ラインをあらわすものとする。 $PE(1), PE(2), \dots, PE(8)$

図 3.1

はプログラムの名前で、節の内部に書かれた値は対応するプログラムのローカル・メモリに記憶されているものとする。この時、 $B[-a_1, a_1], B[a_1, a_2], \dots, B[a_m, a_m]$ は次のようにして求めることができる。図 3.2 はデータの流れをあらわす。

[アルゴリズム]

STEP 1 : $PE(1)$ は B を分割し、 $B[-a_1, a_1]$ 及び $B[a_1, a_2]$ を求める。そして、これらに属する 2-3 木の根をまとめて $PE(2)$ と $PE(3)$ へ送る。

STEP 2 : $PE(2)$ は $B[-a_1, a_2]$ を分割し、 $B[-a_1, a_1]$ と $B[a_1, a_2]$ を求める。そして、これらに属する 2-3 木の根をまとめて $PE(4)$ と $PE(5)$ へ送る。並列に、 $PE(3)$ は $B[a_1, a_2], B[a_2, a_3], B[a_3, a_4], B[a_4, a_5]$ に属する 2-3 木の根をまとめて $PE(6)$, $PE(7)$, $PE(8)$ へ送る。

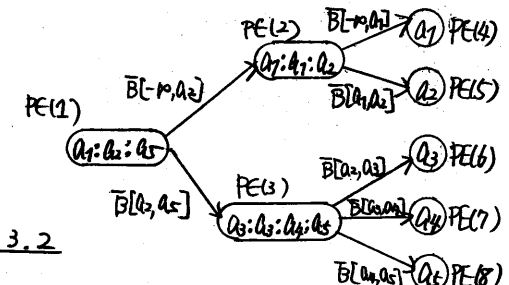


図 3.2

この操作で、 $A = \{a_1, a_2, \dots, a_m\}$ の場合に一般化すると、次のプログラムのようになる。ただし簡単のため、 A の各節はちょうど 2-3 木の子供を持つと仮定する。また、プログラム中、 $PE(W)$ は A の節 W に対応するプログラムであり、 $pred(a_i) = a_{i-1}$ ($i \geq 2$), $pred(a_1) = -\infty$ と定めよ。プログラム間の同期は、メッセージ一式・パッシングにより取られる。以下、"2-3 木を送る"とは、その 2-3 木の根をまとめてインターネットを送ることを意味するものとする。"2-3 木を受け取る"についても同様に定める。

[B を分割するプログラム]

if N が根でない then

$PE(N)$ は親から $B[\text{pred}(\min(N)), \max(N)]$ に属する名 2-3 木を受け取る。

end if

if N が葉でない then

$PE(N)$ は、それ自身の子供へ $B[\text{pred}(\min(N)), 1 \leq \text{max}(N)]$ と $B[1 \leq \text{max}(N), \max(N)]$ に属する名 2-3 木を送る。

end if □

上のプログラムにおいて、 A の根に対するプログラム $PE(N_r)$ は、 B を 2 つの 2-3 木の列に分割する。この作業は、 A と B が図 3.3 のよう 2-3 木である時、次のように行なわれる。

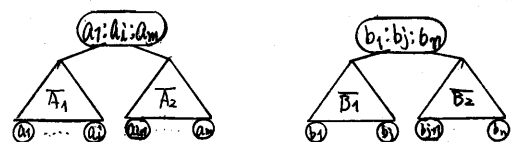


図 3.3

$PE(N_r)$ は、まず B の根を見に行く。こ

の時、次の4つの可能性を考える。

- (1) $a_i < b_1$ (2) $b_1 < a_i < b_j$ (3) $b_j < a_i < b_n$ (4) $b_n < a_i$

(1)の場合、 $PE(N_r)$ は B を2番目の子供へ送る。(4)の場合、 $PE(N_r)$ は B を1番目の

子供へ送る。(2)の場合、 $PE(N_r)$ は B を2番目の子供へ送り、再帰的に B_1 の分割を行なう。(3)の場合、 $PE(N_r)$ は B_1 を1番の子供へ送り、再帰的に B の分割を行なう。 B の根が3つの子供を持つ時も、ほぼ同様の操作が行なえる。この時、次の補題が成り立つ。

補題3.2

A の根を N_r とする。 $PE(N_r)$ は $B[-k,$
 $1stmax(N)]$ または、 $B[1stmax(N), max(N)]$ \in 属する高さ k ($0 \leq k \leq |B|$) の2-3木を。 $O(|B|-k)$ 時間に内に、それぞれの子供へ送ることが可能。

[証明] 以下に簡単な帰納法で示せる。

■

一方、 A の根でも葉でもない節 N_r に対して、 $B[pred(min(N)), max(N)] = \{T_1, T_2, \dots, T_k\}$ ($T_1 < T_2 < \dots < T_k$) とする。前回のプログラムによると、 $PE(N)$ は親から T_1, T_2, \dots, T_k を受け取ってから、これらを分割し、その結果をそれぞれの子供へ送る。しかし、処理の高速化をねらうために、受信と送信を交互に、くり返し行なう方がよい。例えば、 $PE(N)$ が T_r ($1 \leq r \leq k$) を受け取ったとしよう。この時、 T_r の根を N_r とすると、次の3つの可能性を考える。

- (1) $1stmax(N) < min(N_r)$
(2) $min(N_r) < 1stmax(N) < max(N_r)$
(3) $max(N_r) < 1stmax(N)$

(1)の場合、 $PE(N)$ は T_r を直ちに、2番目の子供へ送る。(3)の場合、 $PE(N)$ は T_r を直ちに、1番目の子供へ送る。(2)の場合、 $PE(N)$ は T_r を分割する。この分割は、 A の根に相当するプログラムが、 B を分割する場合と同じ様に行なえる。ここで注意しておくが、 $PE(N)$ は T_1, T_2, \dots, T_k を、この順番に受け取るわけではない。次の補題の下で、高さの順番に受け取

ることを考えまとめる。また、(2)を満たす2-3木は、 T_1, T_2, \dots, T_{k-1} の中に高さ1個しかない存在しない。

補題3.3

A の根でも葉でもない1つの節 N の深さを d とする。 $PE(N)$ が、 $O(|B|+d-k)$ 時間に内に、 $B[pred(min(N)), max(N)]$ \in 属する高さ k ($0 \leq k \leq |B|$) のすべての2-3木を受け取るなら、このプログラムは、 $B[pred(min(N)), 1stmax(N)]$ または、 $B[1stmax(N), max(N)]$ \in 属する高さ k の2-3木を $O(|B|+d-k+1)$ 時間に内に、それぞれの子供へ送ることができる。

[証明] $B[pred(min(N)), 1stmax(N)]$ または、 $B[1stmax(N), max(N)]$ \in 属する1つの2-3木を T とする。 T が $PE(N)$ の親から送られて来たものである場合、この補題は明らかに成り立つ。 T が $PE(N)$ の親から送られて来た2-3木 T' で、分割して立ったものである時、補題3.2と同様。 ■

前回のプログラムをパイライン化すると、次のようになる。ただし、
 $B[u, v, h]$ とは $B[u, v]$ \in 属する高さ h の2-3木の集合である。既に述べたように、 $B[u, v]$ は一意的には定まらない。しかし、今まで述べてきた方法で、 B を分割して、 $B[u, v]$ を作ると、これは一意的で定まる。

[B を分割するプログラム(その2)]

for r from $|B|$ to 0 step -1

if N_r が根でない then

$PE(N_r)$ は親から $B[pred(min(N_r)), max(N_r), r]$ を受け取る。

end if

if N_r が葉でない then

$PE(N_r)$ はそれぞれの子供へ $B[pred(min(N_r)), 1stmax(N_r), r]$ と $B[1stmax(N_r), max(N_r), r]$ を送る

end if

end for ■

この時、次の定理が成り立つ。

定理3.4

$B[-n, a_1], B[a_1, a_2], \dots, B[a_{m-1}, a_m]$ は前負のプログラムにより、 $O(\log n)$ 時間で求めることができ。すな。

[証明]

補題3.2, 3.3より、 d 木に関する帰納不況のことが示せ。

今 A の根以外のある節 N の深さを d とすると、 $PE(N)$ は $O(|B|+d-h)$ 時間内に $B[\text{pred}(\min(N)), \max(N)]$ を属する高さ $(0 \leq h \leq |B|)$ の 2-3木を、 すべて受け取る。

したがって、葉のプロセッサは $O(|B|+|A|) = O(\log n + \log m) = O(\log n)$ 時間に内に、 すべての 2-3木を受け取り終え。

さらに、 次の補題が成り立つ。

補題3.5

今で述べた方法で求められた $B[\text{pred}(a_i), a_i]$ ($1 \leq i \leq m$) を T_1, T_2, \dots, T_k とすると、 ある k' ($1 \leq k' \leq k$) が存在し、 次の(1)(2)(3)が満たされる。

- (1) $|T_1| \leq |T_2| \leq \dots \leq |T_{k-1}| \leq |T_k|$
- (2) T_1, T_2, \dots, T_k の中に、 同じ高さの 2-3木は高々 2 つしか存在しない。
- (3) T_{k+1}, \dots, T_k の中に、 同じ高さの 2-3木は高々 2 つしか存在しない。

[証明の概略]

(1)(2)(3)の条件を満たす 2-3木の列を、 今で述べた方法で分割すると、 (1)(2)(3)の条件を満たす 2-3木の列が、 2つでさることを示せばよい。

補題3.5の条件(1)(2)(3)を満たす、 および 2-3木の列が、 長さ n' の順序列を表現する時、 この列を属する 2-3木の連接は $O(\log n')$ 時間で求められる。したがって、 $\{b_j | b_j < a_1 \cup a_1, b_j | a_n \cup b_j < a_2 \cup a_2, \dots, b_j | a_{m-1} \cup b_j < a_m \cup a_m\}$ を表現する m 個の 2-3木は、 $O(\log n)$ 時間で求めることができ。これら、 2章で導入したアルゴリズムを用いて、 これらの連接を求めると、 A と B のマージ操作の時間計算量は $O(\log n)$ となる。

さらに、 次の定理が成り立つ。

定理3.6

この章で述べたアルゴリズムを実行する際 K 、 複数のプロセッサの同一箇所に対する、 同時アクセス (リード・コンフリクト) は生じない。

[証明の概略]

2-3木の連接を求める際には、 明らかに、 リード・コンフリクトは生じない。一方、 2-3木の列の分割を求める時には、 次のことが成り立つ。

(1) 根以外の各プロセッサは、 親から送られてきた 2-3木の節のみでアクセスする。

(2) 葉以外の各プロセッサは、 ある 2-3木を子供へ送った後、 その 2-3木の節でアクセスすることはない。

(3) 葉以外のプロセッサが、 各子供へ送る 2-3木の列は、 同じ節を含まない。

(1)(2)より、 2つのプロセッサが、 先祖と子孫の関係にある時、 これらの中間にリード・コンフリクトは生じない。一方(3)より、 2つのプロセッサが、 先祖と子孫の関係がない時も、 これらの中間にリード・コンフリクトは生じない。

□

4. 附録

2-3動的計算モデル上では、 結合律を満たす演算の列に対し、 動的バスクジューリングを行なうこととする。

[例題] 2-3動的計算モデル上で、 $3+5+6+8+7+2+11+4$ 正計算する。

図4.7において

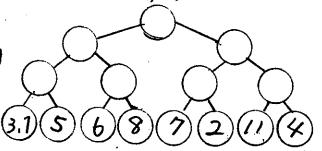
て、 各節はプロセッサ、 辺は

通信ラインを

あらわし、 数字

は対応するプロセッサのローカルメモリに貯えられた値を示す。ここでは

小数と整数の加算は、 整数同士の加算に比べ、 約10倍の時間を要するものとする。この問題は次のようにして解く



STEP1: 高さ 1 のプロセッサは、2番目の子供の持つ値を受け取り、それを 1 番目の子供へ伝える。

そして、2番目の子供を切り離す。(図 4.2)

STEP2: 葉の π

プロセッサは、計算を行なう。これと並列に、高さ 2 のプロセッサが平衡化操作を行なう。

(図 4.3)

STEP3: 1番左の葉の π

プロセッサは、引数統計加算を行なう。高さ 1 の π プロセッサのうち、右側のものは、STEP1 と同様の作業を行なう。(図 4.4)

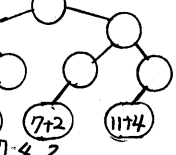


図 4.2

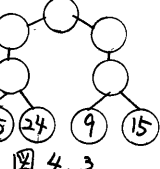


図 4.3

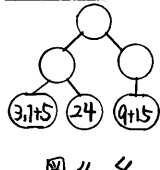


図 4.4

以下、同様に図 4.5 から 4.10 までの変形を行なう。□

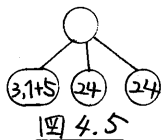


図 4.5

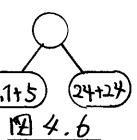


図 4.6

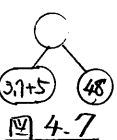


図 4.7

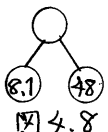


図 4.8

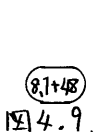


図 4.9



図 4.10

図 4.7 において、解くべき問題は、 $((3+1+5)+(6+18))+((7+2)+(11+4))$ となりますが、どこかが、最終的には、 $(3+1+5)+((6+18)+((7+2)+(11+4)))$ という形で問題は解かれて。平衡化操作及び、プロセッサ間の通信に要する手間を無視すれば、明らかに後者の方が効率的である。

謝辞

本研究に対して、有益な助言をえて下さった、中島玲二助教授（京大・数理解析研究所）及び、本論の草稿を画

識り、極めて有益な指摘を行ってくれた、種野達也、秋山直行、桃川貴司の3氏に深く感謝いたします。

[参考文献]

1. AHO, A.V., HOPCROFT, J.E., and ULLMAN, J.D. The Design and Analysis of Computer Algorithms. Addison-Wesley, (1974)
2. BROWN, M.R. and TARJAN, R.E.: A Fast Merging Algorithm. JACM, Vol. 26(1979), No. 2, pp. 211-226.
3. DEKEL, D. and SAHNI, S.: Binary Trees and Parallel Scheduling Algorithms. Lecture Notes on Computer Science, Springer-Verlag, Vol. 111 pp. 480-492.
4. GAVRIL, F.: Merging with Parallel Processors. CACM, Vol. 18(1975) No. 10, pp. 588-591.
5. HIRSCHBERG, D.S.: Fast Parallel Sorting Algorithms. CACM, Vol. 21(1978), No. 8, pp. 657-661.
6. HWANG, F.K. and LIN, S.A.: A Simple Algorithm for Merging Two Disjoint Linearly Ordered Sets. SIAM J. on Computing, Vol. 1(1972) No. 1, pp. 31-39.
7. PREPARATA, F.P.: New Parallel Sorting Schemes. IEEE Trans. on Computers, C-27 No. 7 (1978) pp. 669-673.
8. SHILOACH, Y. and VISHIKIN, U.: Finding the Maximum, Merging, and Sorting in a Parallel Computation Model. J. of Algorithms, Vol. 1 (1981), No. 2, pp. 81-102.
9. VALIANT, L.G.: Parallelism in Comparison Problem. SIAM J. on Computing, Vol. 4(1975) No. 3, pp. 348-355.